

УДК 629.017

ОБЕСПЕЧЕНИЕ УПРАВЛЯЕМОСТИ И УСТОЙЧИВОСТИ АВТОМОБИЛЕЙ ПРИ УСТАНОВИВШЕМСЯ ДВИЖЕНИИ

**М.А. Подригало, професор, д.т.н., Д.М. Клец, доцент, к.т.н.,
В.И. Гацько, аспирант, ХНАДУ**

Аннотация. Проведено исследование устойчивости и управляемости автомобилей с недостаточной поворачиваемостью. Предложены пути повышения устойчивости и управляемости указанных машин.

Ключевые слова: автомобиль, установившееся движение, управляемость, устойчивость, частота собственных колебаний.

ЗАБЕЗПЕЧЕННЯ КЕРОВАНОСТІ ТА СТІЙКОСТІ АВТОМОБІЛІВ ПРИ УСТАЛЕНОМУ РУХУ

**М.А. Подригало, професор, д.т.н., Д.М. Клец, доцент, к.т.н.,
В.І. Гацько, аспірант, ХНАДУ**

Анотація. Проведено дослідження стійкості та керованості автомобілів з недостатньою повертальністю. Запропоновано шляхи підвищення стійкості і керованості зазначених машин.

Ключові слова: автомобіль, усталений рух, керованість, стійкість, частота власних коливань.

PROVIDING OF VEHICLE STABILITY AND CONTROL AT ITS STEADY MOTION

**M. Podrygalо, Professor, Doctor of Technical Science, D. Klets, Associate Professor,
Candidate of Technical Science, V. Hatsko, postgraduate, KhNAHU**

Abstract. Vehicles stability and control with lack of understeering is investigated. Ways to improve stability and control of the above-stated vehicles are suggested.

Key words: vehicle, steady movement, handling, stability, oscillations frequency.

Введение

Обеспечение постоянного курсового угла и заданного радиуса поворота автомобиля при установившемся движении осуществляется водителем (или автоматическим управляемым устройством) путём постоянного воздействия на рулевое колесо. Указанное воздействие имеет колебательный характер с частотой, достигающей 0,7 Гц. Частота собственных колебаний в плоскости дороги автомобилей с недостаточной поворачиваемостью также находится в диапазоне от 0,4 Гц до 0,7 Гц, что создаёт условия для возникновения резонанса и сдвига колебаний по фазе на 180°. Это приводит к нарушению управ-

ляемости и устойчивости автомобилей. В настоящей статье с использованием частоты собственных колебаний в плоскости дороги проведено исследование устойчивости и управляемости автомобилей с недостаточной поворачиваемостью. Предложены пути повышения устойчивости и управляемости указанных машин.

Анализ публикаций

В работе [1] приведены результаты экспериментальных исследований управляемости автомобилей, показавшие, что частота синусоидальной кривой, используемой для осуществления маневра по траектории усечён-

ной синусоиды за счёт соответствующего поворота рулевого колеса, составляет 0,7 Гц. Использование этой частоты приводит к тому, что время от завершения первого поворота рулевого колеса (первый пик) до завершения поворота в обратном направлении (второй пик) составляет приблизительно 714 миллисекунд независимо от заданной величины угла поворота рулевого колеса [1]. Эти результаты были получены [1] на основании многочисленных исследований верхнего предела способности человека производить поворот при маневрах с двойным переходом с одной полосы на другую. Результаты указанных исследований использованы в международном стандарте [2] при определении условий проведения испытаний автомобилей на устойчивость.

Ранее авторами статьи [3] определены зависимости для расчёта частоты собственных колебаний автомобиля в плоскости дороги. Для установившегося прямолинейного движения автомобиля указанная частота может быть определена по формуле

$$v_{\text{собств}} = \frac{1}{2\pi} \times \sqrt{\frac{L \cdot K_{Y_1}}{m_a \left(1 + \frac{K_{Y_1}}{K_{Y_2}} \right)} \left[i_z^2 + a^2 \left(\frac{\frac{K_{Y_1}}{K_{Y_2}} - \frac{b}{a}}{1 + \frac{K_{Y_1}}{K_{Y_2}}} \right)^2 \right]}, \quad (1)$$

где L – продольная колесная база автомобиля; m_a – общая масса автомобиля; K_{Y_1} , K_{Y_2} – коэффициенты сопротивления боковому уводу колес передней и задней осей, соответственно; a , b – расстояния от проекции центра масс автомобиля на горизонтальную плоскость до передней и задней осей, соответственно; i_z – радиус инерции автомобиля относительно центральной вертикальной оси.

В работе [4] с использованием вероятностной модели предложена формула для расчёта математического ожидания радиуса инерции автомобиля относительно вертикальной оси

$$i_z = \sqrt{\frac{1}{2} \cdot a \cdot b + \frac{B^2}{12}}, \quad (2)$$

где B – колея машины.

При движении на повороте с постоянным радиусом кривизны (на установившемся повороте) собственная частота колебаний автомобиля в плоскости дороги определяется по формуле [3]

$$v_{\text{собств}} = \frac{1}{2\pi} \times \sqrt{\frac{L \cdot \frac{K_{Y_1} \cdot \sec \bar{\alpha}}{\left(1 + \frac{K_{Y_1}}{K_{Y_2}} \right)}}{i_z^2 + a^2 \left(\frac{\frac{K_{Y_1}}{K_{Y_2}} - \frac{b}{a} - \frac{b \cdot \tan \bar{\alpha}}{a \cdot \delta_1}}{1 + \frac{K_{Y_1}}{K_{Y_2}} + \frac{\tan \bar{\alpha}}{\delta_1}} \right)^2}}, \quad (3)$$

где $\bar{\alpha}$ – средний угол поворота передних направляющих колес; δ_1 – угол увода колес передней оси.

Сравнение зависимостей (1) и (3), проведенное в работе [3], показало, что с увеличением $\frac{\tan \bar{\alpha}}{\delta_1}$ происходит увеличение $v_{\text{собств}}$. Это означает, что опасность резонанса колебаний, сопровождающегося потерей управляемости и устойчивости автомобиля, на повороте снижается по сравнению с движением машины на прямой. В работе [3] при определении угловой жесткости машины в плоскости дороги использовалась зависимость

$$C_{\text{угл}}^{\text{м}} = \frac{M_{\text{пов}}}{\Delta \psi}, \quad (4)$$

где $M_{\text{пов}}$ – момент, поворачивающий автомобиль в плоскости дороги; $\Delta \psi$ – изменение курсового угла машины, обусловленное боковой жесткостью шин и действием поворачивающего момента $M_{\text{пов}}$.

Изменение курсового угла $\Delta \psi$ в работе [3] определено как

$$\Delta \psi = \delta_1 + \delta_2, \quad (5)$$

где δ_1 , δ_2 – углы увода точек, лежащих на серединах передней и задней осей двухосного автомобиля.

Зависимость (5) была предложена из условия определения радиуса поворота автомобиля с эластичными колесами [4].

$$R_M = \frac{L}{\operatorname{tg} \bar{\alpha} + \delta_2 - \delta_1}, \quad (6)$$

где $\bar{\alpha}$ – средний угол поворота направляющих колес автомобиля; R_M – радиус кривизны траектории полюса поворота M (точки, которая из всех точек, лежащих на продольной оси автомобиля, имеет наибольшую кривизну траектории).

При $\bar{\alpha} = 0$ выражение (6) имеет вид

$$R_M = \frac{L}{\delta_2 - \delta_1}. \quad (7)$$

Кривизна траектории точки M

$$K_M = \frac{1}{R_M} = \frac{\delta_2 - \delta_1}{L}. \quad (8)$$

При действии поворачивающего момента в плоскости дороги происходит вращение кузова за счет упругости шин относительно полюса поворота M , являющегося центром упругости. В этом случае $\delta_1 = -\delta_2$ и выражение (8) преобразуется к виду

$$K_M = \frac{\delta_2 + \delta_1}{L}. \quad (9)$$

Величина $\delta_1 + \delta_2$ характеризует скорость изменения направления движения автомобиля, а не угловую «деформацию» его под действием поворачивающего момента.

Таким образом, при определении угловой жесткости автомобиля в плоскости дороги, обусловленной боковой податливостью шин, необходимо учитывать не коэффициенты сопротивления бокового увода, а коэффициенты боковой жесткости шин.

Цель и постановка задачи

Целью исследования является обеспечение управляемости и устойчивости автомобиля при установившемся движении за счет корректировки его частоты собственных колебаний в плоскости дороги. Для достижения указанной цели необходимо решить следующие задачи: определить условия обеспечения управляемости и устойчивости автомобиля при установившемся прямолинейном

движении; определить условия обеспечения управляемости и устойчивости автомобиля при установившемся повороте.

Обеспечение управляемости и устойчивости при прямолинейном установившемся движении автомобиля

На рис. 1 приведена схема нагружения автомобиля поворачивающим моментом при установившемся прямолинейном движении.

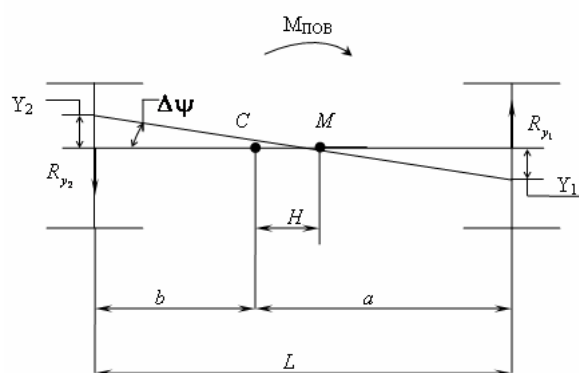


Рис. 1. Схема нагружения автомобиля поворачивающим моментом: C – центр масс автомобиля; M – центр упругости автомобиля в плоскости дороги; R_{y_1} , R_{y_2} – суммарные боковые реакции дороги на передних и задних колесах

Из рис. 1 определим

$$\Delta\psi = \frac{Y_2}{b+H} = \frac{Y_1}{a-H}, \quad (10)$$

где Y_1 , Y_2 – боковые деформации шин, обусловленные действием боковых реакций дороги R_{y_1} и R_{y_2} ,

$$Y_1 = \frac{R_{y_1}}{C_{y_1}}; \quad (11)$$

$$Y_2 = \frac{R_{y_2}}{C_{y_2}}, \quad (12)$$

где C_{y_1} , C_{y_2} – суммарные боковые жесткости передних и задних колес автомобиля.

Подставляя (11) и (12) в (10), получим

$$\Delta\psi = \frac{R_{y_2}}{C_{y_2}(b+H)} = \frac{R_{y_1}}{C_{y_1}(a-H)}. \quad (13)$$

Суммарные боковые реакции дороги на передних и задних колесах

$$R_{y_1} = R_{y_2} = R_y = \frac{M_{\text{ПОВ}}}{L}. \quad (14)$$

Угловая жесткость автомобиля в плоскости дороги

$$C_{\text{угл}} = \frac{M_{\text{ПОВ}}}{\Delta \psi}. \quad (15)$$

Подставляя выражения (13) и (14) в (15), получим

$$C_{\text{угл}} = L(b+H)C_{y_2} = L(a-H)C_{y_1}. \quad (16)$$

Координату центра упругости H находим из выражения (13)

$$H = \frac{aC_{y_1} - bC_{y_2}}{C_{y_1} + C_{y_2}}. \quad (17)$$

Собственная частота колебаний автомобиля в плоскости дороги при установившемся прямолинейном движении

$$\nu_{\text{собств}} = \frac{1}{2\pi} \sqrt{\frac{C_{\text{угл}}}{Y_{ZM}}}, \quad (18)$$

где Y_{ZM} – момент инерции автомобиля в плоскости дороги относительно центра упругости M

$$Y_{ZM} = Y_{ZC} + m_a H^2 = m_a (i_Z^2 + H^2). \quad (19)$$

Выражение (18) с учетом (16), (17), (19) примет вид

$$\nu_{\text{собств}} = \frac{L}{2\pi} \sqrt{\frac{C_{y_1}/m_a}{\left(1 + \frac{C_{y_1}}{C_{y_2}}\right) \left[i_Z^2 + a^2 \left(\frac{\frac{C_{y_1}}{C_{y_2}} - \frac{b}{a}}{1 + \frac{C_{y_1}}{C_{y_2}}} \right)^2 \right]}}. \quad (20)$$

Анализ выражения (20) показывает, что с ростом продольной колесной базы L происходит рост $\nu_{\text{собств}}$ по линейному закону. С увеличением общей массы автомобиля m_a происходит уменьшение частоты собствен-

ных колебаний $\nu_{\text{собств}}$ автомобиля в плоскости дороги.

Управляемость и устойчивость прямолинейного установившегося движения автомобиля будет обеспечена при выполнении следующего условия

$$\nu_{\text{возм}}^{\max} < \nu_{\text{собств}}. \quad (21)$$

Из выражения (20) определим область значений C_{y_1} , обеспечивающих выполнение условия (21)

$$C_{y_1} > \frac{4\pi^2 (\nu_{\text{возм}}^{\max})^2 \cdot m_a}{L^2} \cdot \left(1 + \frac{C_{y_1}}{C_{y_2}} \right) \times \\ \times \left[i_Z^2 + a^2 \left(\frac{\frac{C_{y_1}}{C_{y_2}} - \frac{b}{a}}{1 + \frac{C_{y_1}}{C_{y_2}}} \right)^2 \right]. \quad (22)$$

Преобразуем (22) к виду

$$C_{y_1} > \frac{4\pi^2 m_a (\nu_{\text{возм}}^{\max})^2}{L^2} \cdot F\left(\frac{C_{y_1}}{C_{y_2}}\right), \quad (23)$$

где $F\left(\frac{C_{y_1}}{C_{y_2}}\right)$ – функция отношения $\frac{C_{y_1}}{C_{y_2}}$,

$$F\left(\frac{C_{y_1}}{C_{y_2}}\right) = i_Z^2 \left(1 + \frac{C_{y_1}}{C_{y_2}} \right) + a^2 \frac{\left(\frac{C_{y_1}}{C_{y_2}} - \frac{b}{a} \right)^2}{1 + \frac{C_{y_1}}{C_{y_2}}}. \quad (24)$$

Функция $F\left(\frac{C_{y_1}}{C_{y_2}}\right)$ имеет минимум. Точка минимума

$$\left(\frac{C_{y_1}}{C_{y_2}} \right)^* = \frac{L}{\sqrt{i_Z^2 + a^2}} - 1. \quad (25)$$

Минимальное значение функции $F\left(\frac{C_{y_1}}{C_{y_2}}\right)$ получим после подстановки (25) в (24)

$$\left[F \left(\frac{C_{y_1}}{C_{y_2}} \right) \right]_{\min} = L \frac{i_Z^2 + \left(a - \sqrt{i_Z^2 + a^2} \right)^2}{\sqrt{i_Z^2 + a^2}}. \quad (26)$$

Минимальное значение $C_{y_1 \min}$, соответствующее

$$\left[F \left(\frac{C_{y_1}}{C_{y_2}} \right) \right]_{\min}$$

$$C_{y_1 \min} = \frac{4\pi^2 m_a (v_{\text{возм}}^{\max})^2}{L} \frac{i_Z^2 + \left(a - \sqrt{i_Z^2 + a^2} \right)^2}{\sqrt{i_Z^2 + a^2}}. \quad (27)$$

Требуемая суммарная боковая жесткость колес задней оси в этом случае находится из условия

$$C_{y_2} > \frac{C_{y_1 \min}}{\left(\frac{C_{y_1}}{C_{y_2}} \right)^*}. \quad (28)$$

После подстановки (25) и (27) в (28) получим

$$C_{y_2} > \frac{4\pi^2 m_a (v_{\text{возм}}^{\max})^2}{L} \cdot \frac{i_Z^2 + \left(a - \sqrt{i_Z^2 + a^2} \right)^2}{L - \sqrt{i_Z^2 + a^2}}. \quad (29)$$

На рис. 2 приведены графики зависимости $v_{\text{собств}} \left(\frac{C_{y_2}}{C_{y_1}} \right)$, построенные для снаряженного и груженого автомобиля Урал-4320 при различных значениях C_{y_1} . Исходные расчетные параметры автомобиля Урал-4320 приведены в табл. 1. Автомобиль условно приведен к двухосному.

Таблица 1 Геометрические параметры автомобиля Урал-4320 [3]

Состояние автомобиля	m_a , кг	a , м	b , м	L , м	B , м
Снаряжённый	8100	2,39	1,81	4,2	2,0
Полностью груженый	13025	2,97	1,23	4,2	2,0

На рис. 3 приведены графики зависимости $C_{y_1}(C_{y_2}/C_{y_1})$ и $C_{y_2}(C_{y_2}/C_{y_1})$ для снаряженного и груженого автомобиля Урал-4320 при $v_{\text{возм}}^{\max} = 0,7$ Гц.

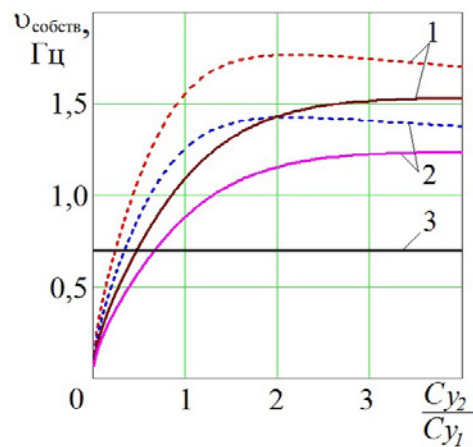


Рис. 2. Зависимость частоты собственных колебаний автомобиля Урал-4320 в плоскости дороги от отношения C_{y_2}/C_{y_1} при прямолинейном уставившемся движении: — полностью груженый автомобиль, - - - снаряженный автомобиль; 1 — $p_{ш} = 350$ кПа ($C_{y_1} = 2,264 \times 10^5$ Н/м); 2 — $p_{ш} = 70$ кПа ($C_{y_1} = 1,475 \times 10^5$ Н/м); 3 — $v_{\text{собств}} = 0,7$ Гц

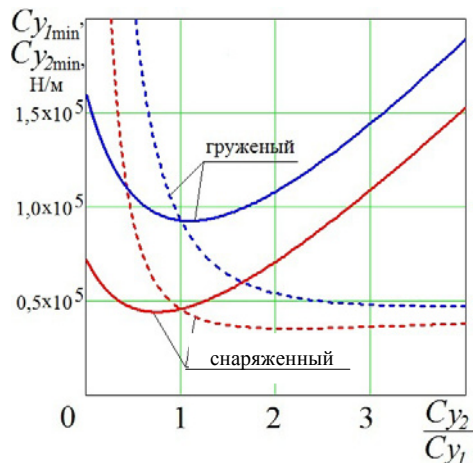


Рис. 3. Зависимость минимальных суммарных боковых жесткостей передних C_{y_1} и задних C_{y_2} колес автомобиля Урал-4320 от отношения C_{y_2}/C_{y_1} при $v_{\text{возм}}^{\max} = 0,7$ Гц: — $C_{y_1 \min}$; - - - $C_{y_2 \min}$

Анализ рис. 3 позволяет определить значения суммарных боковых жесткостей колес передней и задней осей, при которых частота собственных колебаний исследуемого автомобиля в плоскости дороги будет соответствовать верхнему пределу способности человека производить поворот при маневрах с двойным переходом с одной полосы на дру-

гую. Оптимальными значениями, с точки зрения обеспечения управляемости и устойчивости снаряженного автомобиля Урал-4320 при установившемся движении, являются значения $C_{y_1} = C_{y_2} = 4,584 \times 10^4$ Н/м. Для полностью груженого исследуемого автомобиля оптимальными значениями являются $C_{y_1} = C_{y_2} = 9,293 \times 10^4$ Н/м.

Определение условий обеспечения управляемости и устойчивости автомобиля при установившемся повороте

На рис. 4 приведена схема нагружения автомобиля поворачивающим моментом при установившемся движении на повороте. Угол поворота продольной оси автомобиля под действием поворачивающего момента $M_{\text{ПОВ}}$ можно определить следующим образом (рис. 4)

$$\Delta\psi = \frac{Y_2}{b+H} = \frac{Y_1 \cdot \sec \bar{\alpha}}{a-H}. \quad (30)$$

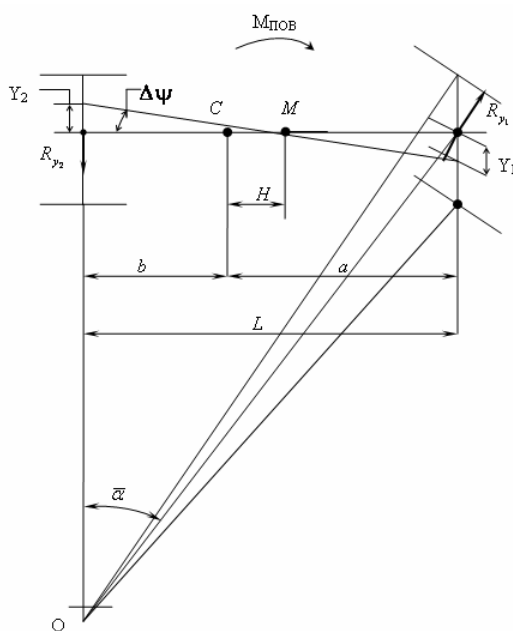


Рис. 4. Схема нагружения автомобиля поворачивающим моментом при установившемся движении на повороте: $\bar{\alpha}$ – средний угол поворота направляющих колес

Учитывая зависимости (11), (12) и соотношение

$$M_{\text{ПОВ}} = R_{y_2} \cdot L = R_{y_1} \cdot L \cdot \cos \bar{\alpha}, \quad (31)$$

определим

$$\Delta\psi = \frac{M_{\text{ПОВ}}}{LC_{y_2}(b+H)} = \frac{M_{\text{ПОВ}}}{LC_{y_1}(a-H)\cos^2 \bar{\alpha}}. \quad (32)$$

Из уравнения (32) определим угловую жесткость автомобиля в плоскости дороги $C_{y_{\text{угл}}}$ и координату центра упругости H

$$C_{y_{\text{угл}}} = LC_{y_2}(b+H) = LC_{y_1}(a-H)\cos^2 \bar{\alpha}; \quad (33)$$

$$H = \frac{C_{y_1}a\cos^2 \bar{\alpha} - C_{y_1}}{C_{y_2} + C_{y_1}\cos^2 \bar{\alpha}}. \quad (34)$$

Подставляя выражения (33) и (34) в зависимость (18), получим после преобразований

$$v_{\text{собств}} = \frac{L \cdot \cos \bar{\alpha}}{2\pi} \times \sqrt{\frac{C_{y_1}/m_a}{\left(1 + \frac{C_{y_1}}{C_{y_2}}\cos^2 \bar{\alpha}\right) \left[i_Z^2 + a^2 \left(\frac{\frac{C_{y_1}}{C_{y_2}}\cos^2 \bar{\alpha} - \frac{b}{a}}{1 + \frac{C_{y_1}}{C_{y_2}}\cos^2 \bar{\alpha}} \right)^2 \right]}} \quad (35)$$

На рис. 5 приведены графики зависимости $v_{\text{собств}}(C_{y_2}/C_{y_1})$, построенные для снаряженного и груженого автомобиля Урал-4320, при различных значениях C_{y_1} .

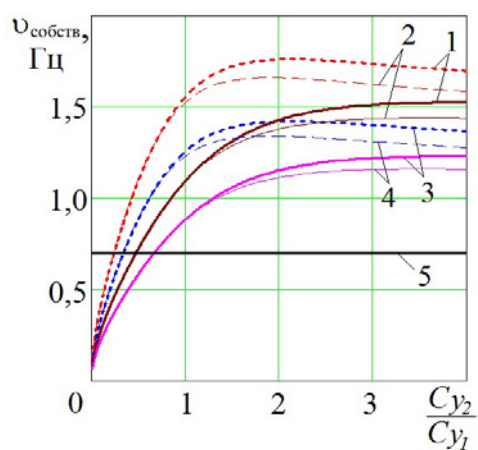


Рис. 5. Зависимость частоты собственных колебаний автомобиля Урал-4320 в плоскости дороги от отношения C_{y_2}/C_{y_1} при установившемся повороте:
— полностью груженый автомобиль,
--- снаряженный автомобиль

На рис. 5 принятые следующие обозначения:
 1 – $p_{ш} = 350$ кПа ($C_{y_1} = 2,264 \times 10^5$ Н/м) и
 $\bar{\alpha} = 5^\circ$; 2 – $p_{ш} = 350$ кПа ($C_{y_1} = 2,264 \times 10^5$ Н/м) и
 $\bar{\alpha} = 20^\circ$; 3 – $p_{ш} = 70$ кПа ($C_{y_1} = 1,475 \times 10^5$ Н/м) и $\bar{\alpha} = 5^\circ$; 4 – $p_{ш} = 70$ кПа ($C_{y_1} = 1,475 \times 10^5$ Н/м) и $\bar{\alpha} = 20^\circ$; 5 –
 $v_{собств} = 0,7$ Гц.

Выводы

Проведенные на примере автомобиля Урал-4320 исследования показали, что частота собственных колебаний в плоскости дороги может принимать значения менее 0,7 Гц, что создаёт условия для возникновения резонанса и сдвига колебаний по фазе, а значит – нарушения управляемости и устойчивости автомобилей.

Полученные зависимости позволяют определять соотношения суммарных боковых жесткостей передних и задних колес автомобиля, при которых частота собственных колебаний исследуемого автомобиля в плоскости дороги будет соответствовать верхнему пределу способности человека производить поворот при маневрах с двойным переходом с одной полосы на другую. Оптимальными значениями, с точки зрения обеспечения управляемости и устойчивости снаряженного автомобиля Урал-4320 при установившемся движении, являются значения $C_{y_1} = C_{y_2} = 4,584 \times 10^4$ Н/м. Для полностью груженого исследуемого автомобиля оптимальными значениями являются $C_{y_1} = C_{y_2} = 9,293 \times 10^4$ Н/м.

Если выбором значений суммарных боковых жесткостей передних и задних колес автомобиля достичь $v_{возм}^{\max} \geq 0,7$ не удается, рекомендуется применение системы динамической стабилизации курсового угла и радиуса поворота автомобиля.

Литература

1. Forkenbrock G. An Assessment of Human Driver Steering Capability [Електронний ресурс] / G. Forkenbrock, E. Devin // NHTSA Technical Report, DOT HS 809875, – 2005. – Режим доступа к жур.: http://www-nrd.nhtsa.dot.gov/vrte/capubs/HTSA_forkenbrock_driversteering_capability.pdf.
2. Электронные системы контроля устойчивости: ECE/TRANS/180/ Add.8 – Введены в Глобальный регистр. 2008– 06–26. – Женева: Глобальный регистр. Организация объединённых наций, 2008. – 116 с.
3. Подригало М.А. Управляемость колесных машин при установившемся движении / М.А. Подригало, Д.М. Клец, В.И. Гацько // Автомобильный транспорт: сб. науч. тр. – 2011. – Вып. 29. – С. 117–125.
4. Маневренность и тормозные свойства колесных машин / М.А. Подригало, В.П. Волков, В.И. Кирчатый, А.А. Бобошко; под. ред. М.А. Подригало. – Х.: ХНАДУ, 2003. – 403 с.

Рецензент: В.И. Клименко, профессор, к.т.н., ХНАДУ.

Статья поступила в редакцию 17 января 2013 г.